

AttentionLacsOT: observations par satellite pour la surveillance des lacs

Rapport sur la prolifération algale de 2009 - Lac Érié

Les indices de la prolifération algale obtenus par télédétection pour le Lac Érié ont été estimés à partir des données de 2016 à aujourd'hui fournies par le capteur OLCI (Ocean Land Colour Instrument) de l'Agence spatiale européenne, et à partir des données de 2002 à 2011 fournies par le spectromètre imageur MERIS (Medium Resolution Imaging Spectrometer). Les indices quotidiens dérivent des produits de données satellitaires utilisant une moyenne mobile de 14 jours. Les indices annuels font état des valeurs moyennes et maximales au cours de la période de surveillance de juin à octobre.



Contactez-nous au ec.EOLakeWatch-AttentionLacsOT.ec@canada.ca pour en savoir plus.

Tableau 1. Graphiques de la prolifération algale dans le Lac Érié (juin à octobre)

| Indice de prolifération | Indices quotidiens de 2009 | Indices annuels |
|--|----------------------------|-----------------|
| Étendue de la prolifération (km ²) & (% de la superficie du lac) | | |
| Intensité de la prolifération (µg/L) | | |
| Gravité de la prolifération (µg/L km ²) | | |

*Moyenne de 2002 à 2018. Aucune donnée disponible de 2012 à 2015.

Citation recommandée: Environnement et Changement Climatique Canada (2019). *AttentionLacsOT Rapport sur la prolifération algale de 2009 - Lac Érié.*



AttentionLacsOT: observations par satellite pour la surveillance des lacs

Rapport sur la prolifération algale de 2009 - Lac Érié

Tableau 2. Produits cartographiques de l'indice de prolifération du Lac Érié (2009)

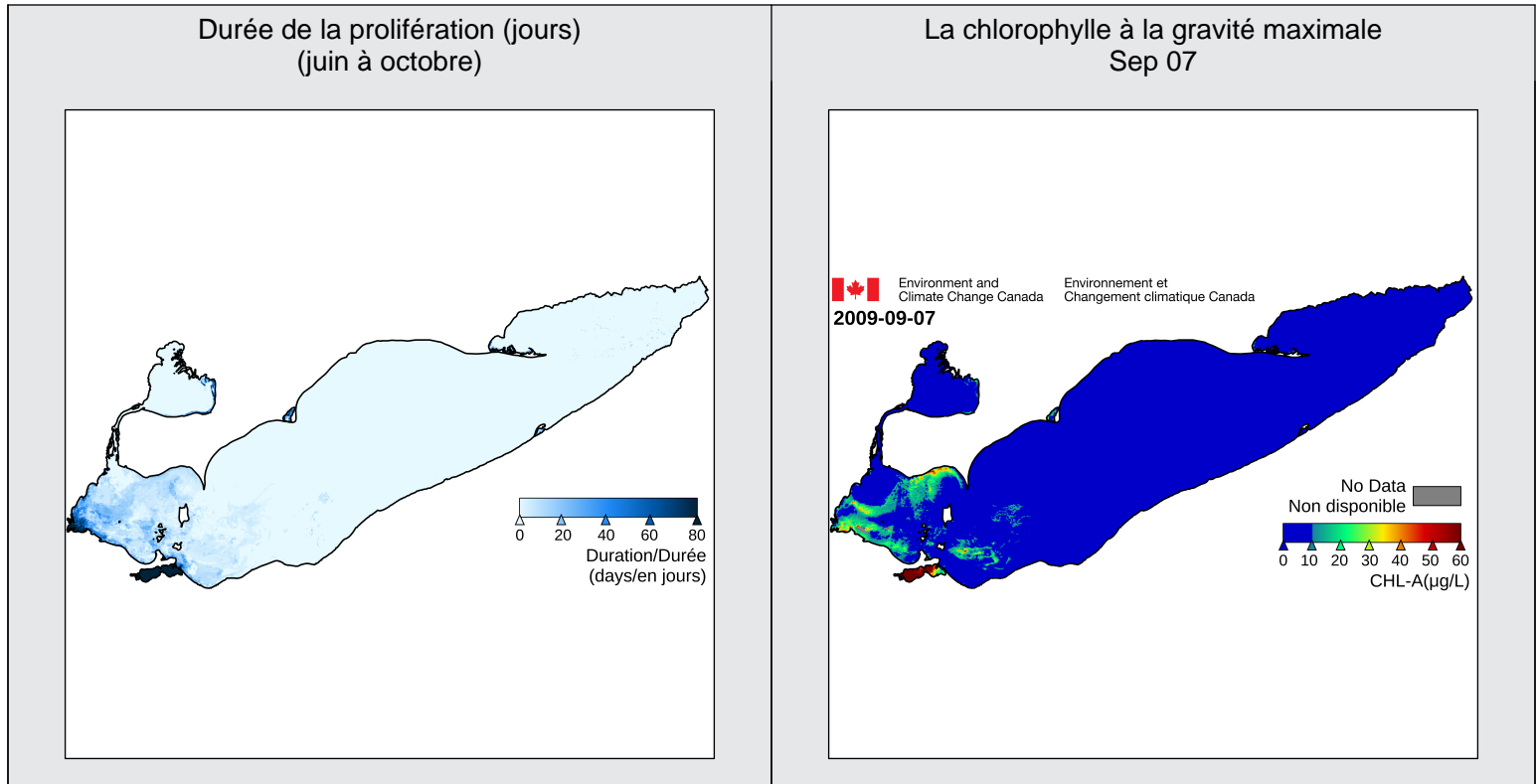


Tableau 3. Indices de prolifération du Lac Érié pour 2009 (juin à octobre)

| Indices de prolifération | | | | | | | | | |
|--------------------------|--|-------------------|--|----------------|--|-------------------|--|--------------------------------|----------------|
| Année | Moyenne | | | | Maximale | | | | |
| | Étendue km ² (% de la superficie du lac) | Intensité µg/L | Gravité x10 ³ µg/L km ² | Durée jours | Étendue km ² (% de la superficie du lac) | Intensité µg/L | Gravité x10 ³ µg/L km ² | Jour de gravité maximale | Durée jours |
| 2009 | 434 (1.6) | 32.7 | 12.0 | 16 | 1,625 (6.1) | 59.9 | 31.9 | Sep 07 | 148 |
| Avg* | 446 (1.7) | 33.0 | 13.4 | 24 | 1,269 (4.8) | 53.5 | 38.2 | Sep 13 | 146 |

*Moyenne de 2002 à 2018. Aucune donnée disponible de 2012 à 2015.

Tableau 4. Terminologie

| Indice de prolifération | Description |
|-------------------------------|---|
| Marqueur de prolifération | Marqueur de prolifération par pixel lorsque la concentration de chlorophylle est supérieure à > 10 µg/L |
| Étendue de la prolifération | Superficie totale de pixels marqués (km ² ou % de la superficie du lac) |
| Intensité de la prolifération | Concentration moyenne de chlorophylle dans une superficie marquée (µg/L) |
| Gravité de la prolifération | Intensité de la prolifération x étendue de la prolifération (µg/L km ²) |
| Durée de la prolifération | Nombre de jours durant lesquels un pixel est marqué (jours) |

AttentionLacsOT: observations par satellite pour la surveillance des lacs

Rapport sur la prolifération algale de 2009 - Lac Érié

Appendice. Indices de la prolifération moyenne et maximale (juin à octobre)

| Indices de prolifération | | | | | | | | | |
|--------------------------|--|-------------------|--|----------------|--|-------------------|--|--------------------------------|----------------|
| Année | Moyenne | | | | Maximale | | | | |
| | Étendue km ² (% de la superficie du lac) | Intensité µg/L | Gravité x10 ³ µg/L km ² | Durée jours | Étendue km ² (% de la superficie du lac) | Intensité µg/L | Gravité x10 ³ µg/L km ² | Jour de gravité maximale | Durée jours |
| 2002 | 185 (0.7) | 31.9 | 6.1 | 29 | 305 (1.1) | 48.2 | 10.4 | Aug 29 | 132 |
| 2003 | 447 (1.7) | 35.2 | 13.2 | 28 | 1,401 (5.2) | 58.2 | 33.4 | Sep 21 | 146 |
| 2004 | 236 (0.9) | 33.8 | 7.6 | 21 | 455 (1.7) | 53.3 | 14.6 | Sep 21 | 150 |
| 2005 | 221 (0.8) | 37.2 | 8.0 | 30 | 419 (1.6) | 54.1 | 12.7 | Sep 07 | 150 |
| 2006 | 285 (1.1) | 32.9 | 8.8 | 27 | 711 (2.7) | 52.0 | 21.6 | Aug 25 | 148 |
| 2007 | 305 (1.1) | 34.7 | 9.6 | 20 | 638 (2.4) | 53.1 | 14.0 | Sep 15 | 149 |
| 2008 | 499 (1.9) | 34.1 | 16.0 | 24 | 1,573 (5.9) | 49.0 | 59.8 | Sep 12 | 150 |
| 2009 | 434 (1.6) | 32.7 | 12.0 | 16 | 1,625 (6.1) | 59.9 | 31.9 | Sep 07 | 148 |
| 2010 | 448 (1.7) | 28.5 | 12.0 | 22 | 1,207 (4.5) | 42.3 | 34.0 | Sep 22 | 142 |
| 2011 | 1,663 (6.2) | 27.2 | 47.7 | 25 | 5,257 (19.7) | 44.8 | 176.4 | Oct 19 | 146 |
| 2016 | 238 (0.9) | 36.8 | 8.4 | 24 | 609 (2.3) | 56.6 | 20.6 | Aug 23 | 153 |
| 2017 | 553 (2.1) | 36.7 | 18.0 | 21 | 1,725 (6.5) | 65.6 | 55.0 | Sep 25 | 150 |
| 2018 | 279 (1.0) | 27.6 | 7.3 | 19 | 572 (2.1) | 59.0 | 12.4 | Sep 12 | 133 |
| Avg* | 446 (1.7) | 33.0 | 13.4 | 24 | 1,269 (4.8) | 53.5 | 38.2 | Sep 13 | 146 |

*Moyenne de 2002 à 2018. Aucune donnée disponible de 2012 à 2015.

Les indices de prolifération algale AttentionLacsOT d'ECDC sont obtenus à partir des données de télédétection fournies par le spectromètre imageur MERIS du satellite Envisat et des missions Copernicus Sentinel-3 OLCI; les données sont fournies par l'Agence spatiale européenne (ESA).

